

Siehe ähnliche Dateien: <http://www.ps.bam.de/PG00/>
 Technische Information: <http://www.ps.bam.de> Version 2.1, io=1,1?

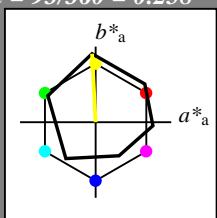
Eingabe: Farbmétrisches Offset-Reflektiv-System ORS18
 für Bunton $h^* = lab^*h = 93/360 = 0.258$
 lab^*tch und lab^*nch

D50: Bunton Y

LCH*Ma: 91 91 93

olv*Ma: 1.0 1.0 0.0

Dreiecks-Helligkeit t^*



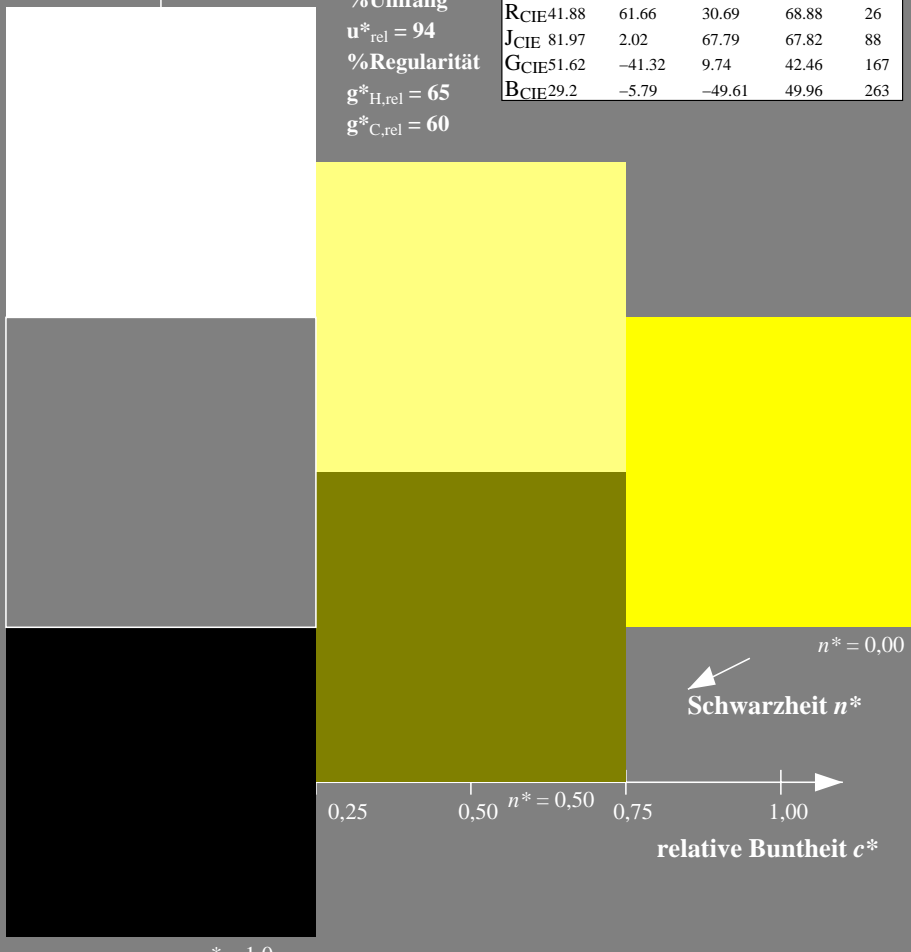
%Umfang

$u^*_{rel} = 94$

%Regularität

$g^*_{H,rel} = 65$

$g^*_{C,rel} = 60$



C M Y L C M Y L C

Ausgabe: Farbmétrisches Fernseh-Licht-System TLS00

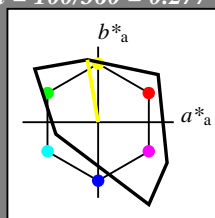
für Bunton $h^* = lab^*h = 100/360 = 0.277$
 lab^*tch und lab^*nch

D50: Bunton Y

LCH*Ma: 93 84 100

olv*Ma: 1.0 1.0 0.0

Dreiecks-Helligkeit t^*



%Umfang

$u^*_{rel} = 156$

%Regularität

$g^*_{H,rel} = 26$

$g^*_{C,rel} = 45$

relative Inform. Technology (IT)

olvi3*: 1.0 1.0 1.0 (1,0)

cmyn3*: 0.0 0.0 0.0 (0,0)

olvi4*: 1.0 1.0 1.0 1.0

cmyn4*: 0.0 0.0 0.0 0.0

standard and adapted CIELAB

LAB*LAB 95,41 0,0 0,0

LAB*LABa 95,41 0,0 0,0

LAB*TChA 99,99 0,01 -

relative CIELAB lab*

lab*lab 1,0 0,0 0,0

lab*tch 1,0 0,0 -

lab*nch 0,0 0,0 -

relative Natural Colour (NC)

lab*lrj 1,0 0,0 0,0

lab*tce 1,0 0,0 -

lab*ncE 0,0 0,0 -

relative Inform. Technology (IT)

olvi3*: 0.5 0.5 0.5 (1,0)

cmyn3*: 0.5 0.5 0.5 (0,0)

olvi4*: 1.0 1.0 1.0 0.5

cmyn4*: 0.0 0.0 0.0 0.5

standard and adapted CIELAB

LAB*LAB 47,72 0,0 0,0

LAB*LABa 47,72 0,0 0,0

LAB*TChA 50,0 0,01 -

relative CIELAB lab*

lab*lab 0,5 0,0 0,0

lab*tch 0,5 0,0 -

lab*nch 0,5 0,0 -

relative Natural Colour (NC)

lab*lrj 0,5 0,0 0,0

lab*tce 0,5 0,0 -

lab*ncE 0,5 0,0 -

relative Inform. Technology (IT)

olvi3*: 0.0 0.0 0.0 (1,0)

cmyn3*: 1.0 1.0 1.0 (0,0)

olvi4*: 1.0 1.0 1.0 0,0

cmyn4*: 0.0 0.0 0.0 1,0

standard and adapted CIELAB

LAB*LAB 0,03 0,0 0,0

LAB*LABa 0,03 0,0 0,0

LAB*TChA 0,01 0,01 -

relative CIELAB lab*

lab*lab 0,0 0,0 0,0

lab*tch 0,0 0,0 -

lab*nch 1,0 0,0 -

relative Natural Colour (NC)

lab*lrj 0,0 0,0 0,0

lab*tce 0,0 0,0 -

lab*ncE 1,0 0,0 -

3stufige Reihen für konstanten CIELAB Bunton 100/360 = 0,277 (rechts)

BAM-Prüfvorlage PG00; Farbmétrik-Systeme ORS18 & ORS18 input: olv* setrgbcolor

D50: 3stufige Farbreihen und Koordinatendaten für 10 Bunttöne output: Startup (S) data dependend

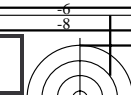
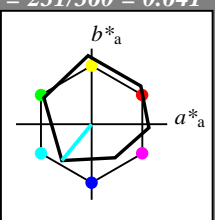
PG00-7, 3 stufige Reihen für konstanten CIELAB Bunton 93/360 = 0,258 (links)

BAM-Prüfvorlage PG00; Farbmétrik-Systeme ORS18 & ORS18 input: olv* setrgbcolor

D50: 3stufige Farbreihen und Koordinatendaten für 10 Bunttöne output: Startup (S) data dependend

C M Y L C M Y L C

C M Y L C M Y L C

**Eingabe: Farbmétrisches Offset-Reflektiv-System ORS18**für Bunton $h^* = lab^*h = 231/360 = 0.641$
 lab^*tch und lab^*nch **D50:** Bunton C**LCH*Ma:** 57 62 231**olv*Ma:** 0.0 1.0 1.0**Dreiecks-Helligkeit t^*** 

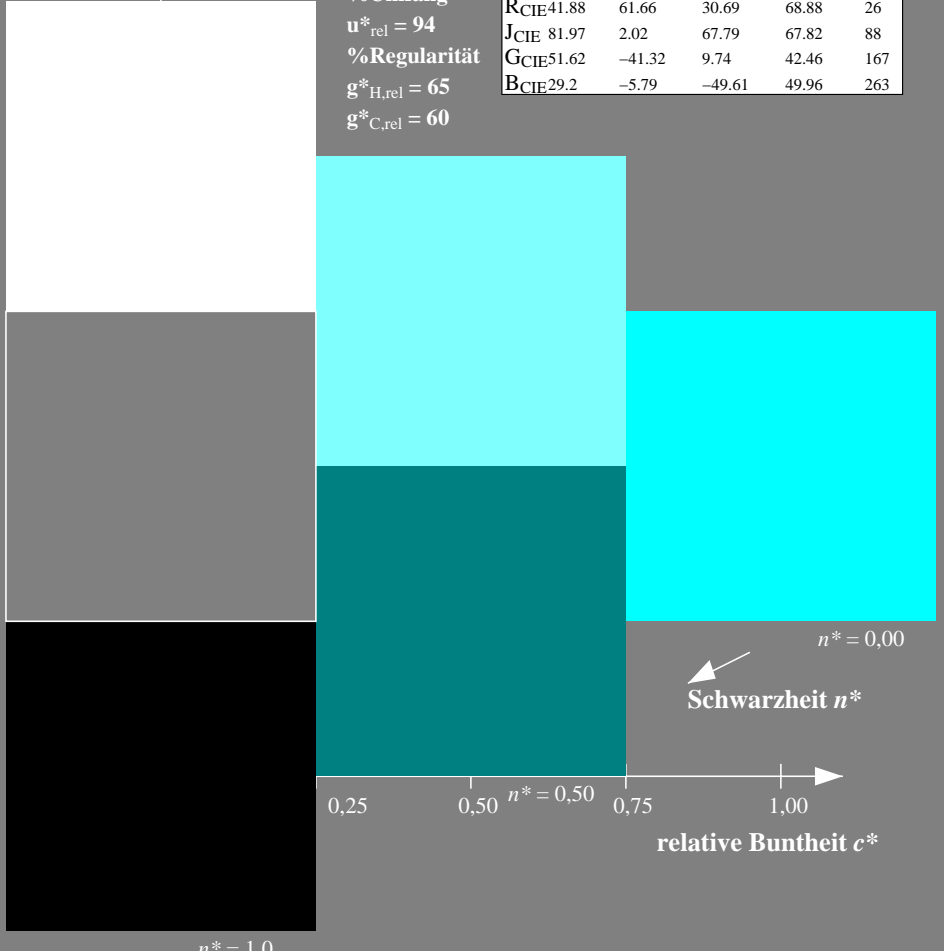
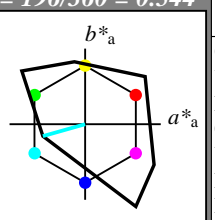
%Umfang

 $u^*_{rel} = 94$

%Regularität

 $g^*_{H,rel} = 65$ $g^*_{C,rel} = 60$ **ORS18; adaptierte CIELAB-Daten**

	$L^* = L^*_{a,a}$	$a^*_{a,a}$	$b^*_{a,a}$	$C^*_{ab,a}$	$h^*_{ab,a}$
O _{Ma}	47.94	65.05	50.54	82.38	38
Y _{Ma}	91.0	-4.72	90.58	90.7	93
L _{Ma}	50.9	-63.18	34.98	72.22	151
C _{Ma}	56.99	-39.34	-48.1	62.16	231
V _{Ma}	25.72	30.89	-44.4	54.09	305
M _{Ma}	49.99	75.76	-4.64	75.9	356
N _{Ma}	18.09	0.0	0.0	0.0	0
W _{Ma}	95.46	0.0	0.0	0.0	0
R _{CIE}	41.88	61.66	30.69	68.88	26
J _{CIE}	81.97	2.02	67.79	67.82	88
G _{CIE}	51.62	-41.32	9.74	42.46	167
B _{CIE}	29.2	-5.79	-49.61	49.96	263

**Ausgabe: Farbmétrisches Fernseh-Licht-System TLS00**für Bunton $h^* = lab^*h = 196/360 = 0.544$
 lab^*tch und lab^*nch **D50:** Bunton C**LCH*Ma:** 85 58 196**olv*Ma:** 0.0 1.0 1.0**Dreiecks-Helligkeit t^*** 

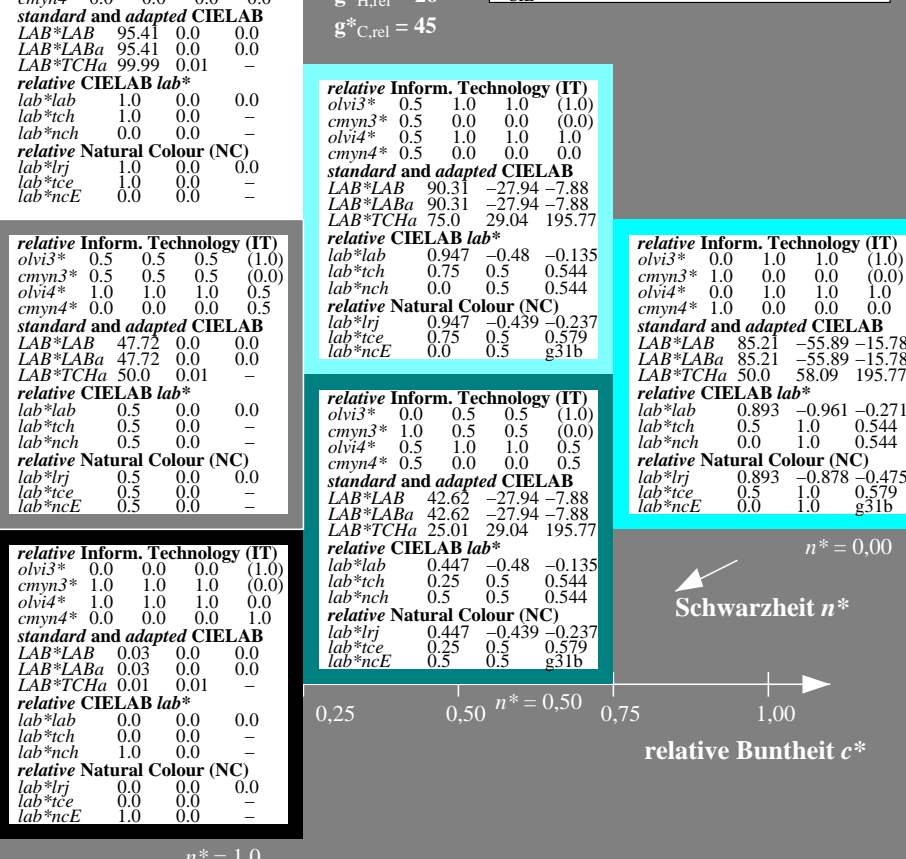
%Umfang

 $u^*_{rel} = 156$

%Regularität

 $g^*_{H,rel} = 26$ $g^*_{C,rel} = 45$ **TLS00; adaptierte CIELAB-Daten**

	$L^* = L^*_{a,a}$	$a^*_{a,a}$	$b^*_{a,a}$	$C^*_{ab,a}$	$h^*_{ab,a}$
O _{Ma}	54.19	79.36	63.0	101.33	38
Y _{Ma}	93.44	-14.18	82.59	83.8	100
L _{Ma}	82.82	-83.73	70.41	109.41	140
C _{Ma}	85.22	-55.9	-15.78	58.1	196
V _{Ma}	25.61	67.05	-108.87	127.87	302
M _{Ma}	58.76	91.18	-53.69	105.82	330
N _{Ma}	0.01	0.0	0.0	0.0	0
W _{Ma}	95.41	0.0	0.0	0.0	0
R _{CIE}	41.88	62.0	31.82	69.69	27
J _{CIE}	81.97	1.81	71.59	71.61	89
G _{CIE}	51.62	-41.11	11.52	42.7	164
B _{CIE}	29.2	-5.27	-49.33	49.62	264



3stufige Reihen für konstanten CIELAB Bunton 231/360 = 0.641 (links)

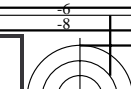
BAM-Prüfvorlage PG00; Farbmétrik-Systeme ORS18 & ORS18 input: $olv^* setrgbcolor$

D50: 3stufige Farbreihen und Koordinatendaten für 10 Bunttöne output: Startup (S) data dependend

PG00-7, 3 stufige Reihen für konstanten CIELAB Bunton 231/360 = 0.641 (links)

BAM-Prüfvorlage PG00; Farbmétrik-Systeme ORS18 & ORS18 input: $olv^* setrgbcolor$

D50: 3stufige Farbreihen und Koordinatendaten für 10 Bunttöne output: Startup (S) data dependend



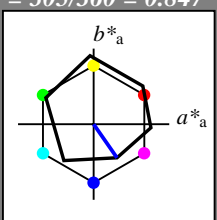
Eingabe: Farbmétrisches Offset-Reflektiv-System ORS18
für Bunton $h^* = lab^*h = 305/360 = 0.847$
 lab^*tch und lab^*nch

D50: Bunton V

LCH*Ma: 26 54 305

olv*Ma: 0.0 0.0 1.0

Dreiecks-Helligkeit t^*



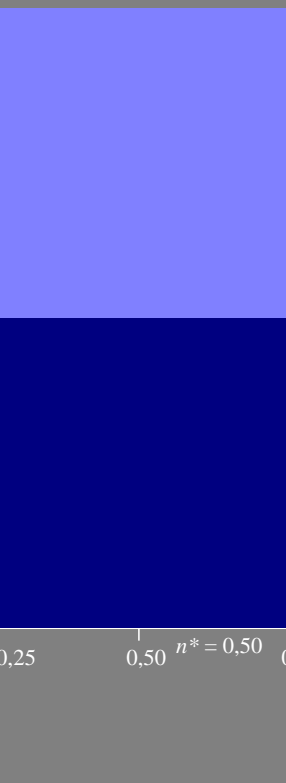
%Umfang

$u^*_{rel} = 94$

%Regularität

$g^*_{H,rel} = 65$

$g^*_{C,rel} = 60$



PG000-7, 3 stufige Reihen für konstanten CIELAB Bunton 305/360 = 0.847 (links)

BAM-Prüfvorlage PG00; Farbmétrik-Systeme ORS18 & ORS18 input: $olv^* setrgbcolor$
D50: 3stufige Farbreihen und Koordinatendaten für 10 Bunttöne output: Startup (S) data dependend

Ausgabe: Farbmétrisches Fernseh-Licht-System TLS00

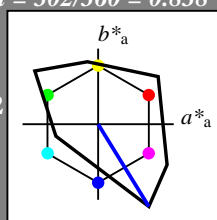
für Bunton $h^* = lab^*h = 302/360 = 0.838$
 lab^*tch und lab^*nch

D50: Bunton V

LCH*Ma: 26 128 302

olv*Ma: 0.0 0.0 1.0

Dreiecks-Helligkeit t^*



%Umfang

$u^*_{rel} = 156$

%Regularität

$g^*_{H,rel} = 26$

$g^*_{C,rel} = 45$

relative Inform. Technology (IT)

$olv^3* 1.0 1.0 1.0 (1.0)$

$cmyn3* 0.0 0.0 0.0 (0.0)$

$olv^4* 1.0 1.0 1.0 1.0$

$cmyn4* 0.0 0.0 0.0 0.0$

standard and adapted CIELAB

$LAB^*LAB 95.41 0.0 0.0$

$LAB^*LABa 95.41 0.0 0.0$

$LAB^*TChA 99.99 0.01 -$

relative CIELAB lab*

$lab^*lab 1.0 0.0 0.0$

$lab^*tch 1.0 0.0 -$

$lab^*nch 0.0 0.0 -$

relative Natural Colour (NC)

$lab^*lrij 1.0 0.0 0.0$

$lab^*tce 1.0 0.0 -$

$lab^*ncE 0.0 0.0 -$

relative Inform. Technology (IT)

$olv^3* 0.5 0.5 1.0 (1.0)$

$cmyn3* 0.5 0.5 0.0 (0.0)$

$olv^4* 0.5 0.5 1.0 1.0$

$cmyn4* 0.5 0.5 0.0 0.0$

standard and adapted CIELAB

$LAB^*LAB 60.51 33.52 -54.42$

$LAB^*LABa 60.51 33.52 -54.42$

$LAB^*TChA 75.0 63.92 301.63$

relative CIELAB lab*

$lab^*lab 0.634 0.262 -0.425$

$lab^*tch 0.75 0.5 0.838$

$lab^*nch 0.0 0.5 0.838$

relative Natural Colour (NC)

$lab^*lrij 0.634 0.231 -0.442$

$lab^*tce 0.75 0.5 0.827$

$lab^*ncE 0.0 0.5 b30r$

relative Inform. Technology (IT)

$olv^3* 0.0 0.0 0.5 (1.0)$

$cmyn3* 1.0 1.0 0.5 (0.0)$

$olv^4* 0.5 0.5 1.0 0.5$

$cmyn4* 0.5 0.5 0.0 0.5$

standard and adapted CIELAB

$LAB^*LAB 12.82 33.52 -54.42$

$LAB^*LABa 12.82 33.52 -54.42$

$LAB^*TChA 25.01 63.92 301.63$

relative CIELAB lab*

$lab^*lab 0.134 0.262 -0.425$

$lab^*tch 0.25 0.5 0.838$

$lab^*nch 0.5 0.5 0.838$

relative Natural Colour (NC)

$lab^*lrij 0.134 0.231 -0.442$

$lab^*tce 0.25 0.5 0.827$

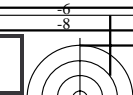
$lab^*ncE 0.5 0.5 b30r$

TLS00; adaptierte CIELAB-Daten	$L^*=L^*_a$	a^*_a	b^*_a	$C^*_{ab,a}$	$h^*_{ab,a}$
O _{Ma}	47.94	65.05	50.54	82.38	38
Y _{Ma}	91.0	-4.72	90.58	90.7	93
L _{Ma}	50.9	-63.18	34.98	72.22	151
C _{Ma}	56.99	-39.34	-48.1	62.16	231
V _{Ma}	25.72	30.89	-44.4	54.09	305
M _{Ma}	49.99	75.76	-4.64	75.9	356
N _{Ma}	18.09	0.0	0.0	0.0	0
W _{Ma}	95.46	0.0	0.0	0.0	0
R _{CIE}	41.88	61.66	30.69	68.88	26
J _{CIE}	81.97	2.02	67.79	67.82	88
G _{CIE}	51.62	-41.32	9.74	42.46	167
B _{CIE}	29.2	-5.79	-49.61	49.96	263

relative Inform. Technology (IT)	olv^3*	olv^4*	$cmyn3*$	$cmyn4*$	LAB^*LAB	LAB^*LABa	LAB^*TChA
olv^3*	0.0	0.0	1.0	(1.0)			
$cmyn3*$	0.0	0.0	0.5	(0.0)			
olv^4*	0.5	0.5	1.0	1.0			
$cmyn4*$	0.5	0.5	0.0	0.0			
LAB^*LAB	25.61	67.04	-108.85				
LAB^*LABa	25.61	67.04	-108.85				
LAB^*TChA	50.0	127.84	301.63				

relative Inform. Technology (IT)	olv^3*	olv^4*	$cmyn3*$	$cmyn4*$	LAB^*LAB	LAB^*LABa	LAB^*TChA
olv^3*	0.268	0.524	0.5	(1.0)			
$cmyn3*$	0.5	0.5	1.0	0.0			
olv^4*	0.25	0.5	0.5	0.5			
$cmyn4*$	0.25	0.5	0.5	0.5			
LAB^*LAB	12.82	33.52	-54.42				
LAB^*LABa	12.82	33.52	-54.42				
LAB^*TChA	25.01	63.92	301.63				

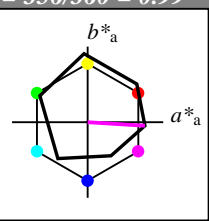




Eingabe: Farbmétrisches Offset-Reflektiv-System ORS18
für Bunton $h^* = lab^*h = 356/360 = 0.99$
 lab^*tch und lab^*nch

D50: Bunton M
LCH*Ma: 50 76 356
olv*Ma: 1.0 0.0 1.0

Dreiecks-Helligkeit t^*



%Umfang

$u^*_{rel} = 94$

%Regularität

$g^*_{H,rel} = 65$

$g^*_{C,rel} = 60$



Siehe ähnliche Dateien: <http://www.ps.bam.de/PG00/>

Technische Information: <http://www.ps.bam.de> Version 2.1, io=1,1?



PG000-7, 3 stufige Reihen für konstanten CIELAB Bunton 356/360 = 0.99 (links)

BAM-Prüfvorlage PG00; Farbmétrik-Systeme ORS18 & ORS18 input: $olv^* setrgbcolor$
D50: 3stufige Farbreihen und Koordinatendaten für 10 Bunttöne output: Startup (S) data dependend

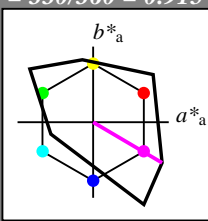


Ausgabe: Farbmétrisches Fernseh-Licht-System TLS00

für Bunton $h^* = lab^*h = 330/360 = 0.915$
 lab^*tch und lab^*nch

D50: Bunton M
LCH*Ma: 59 106 330
olv*Ma: 1.0 0.0 1.0

Dreiecks-Helligkeit t^*



%Umfang

$u^*_{rel} = 156$

%Regularität

$g^*_{H,rel} = 26$

$g^*_{C,rel} = 45$

relative Inform. Technology (IT)				
olvi3*	1.0	1.0	1.0	(1.0)
cmyn3*	0.0	0.0	0.0	(0.0)
olvi4*	1.0	1.0	1.0	1.0
cmyn4*	0.0	0.0	0.0	0.0
standard and adapted CIELAB				
LAB*LAB	95.41	0.0	0.0	
LAB*LABa	95.41	0.0	0.0	
LAB*TChA	99.99	0.01	-	
relative CIELAB lab*				
lab*lab	1.0	0.0	0.0	
lab*tch	1.0	0.0	-	
lab*nch	0.0	0.0	-	
relative Natural Colour (NC)				
lab*lrj	1.0	0.0	0.0	
lab*tce	1.0	0.0	-	
lab*ncE	0.0	0.0	-	

relative Inform. Technology (IT)				
olvi3*	0.5	0.5	0.5	(1.0)
cmyn3*	0.5	0.5	0.5	(0.0)
olvi4*	1.0	1.0	1.0	0.5
cmyn4*	0.0	0.0	0.0	0.5
standard and adapted CIELAB				
LAB*LAB	47.72	0.0	0.0	
LAB*LABa	47.72	0.0	0.0	
LAB*TChA	50.0	0.01	-	
relative CIELAB lab*				
lab*lab	0.5	0.0	0.0	
lab*tch	0.5	0.0	-	
lab*nch	0.5	0.0	-	
relative Natural Colour (NC)				
lab*lrj	0.5	0.0	0.0	
lab*tce	0.5	0.0	-	
lab*ncE	0.5	0.0	-	

relative Inform. Technology (IT)				
olvi3*	0.0	0.0	0.0	(1.0)
cmyn3*	1.0	1.0	1.0	(0.0)
olvi4*	1.0	1.0	1.0	0.0
cmyn4*	0.0	0.0	0.0	1.0
standard and adapted CIELAB				
LAB*LAB	0.03	0.0	0.0	
LAB*LABa	0.03	0.0	0.0	
LAB*TChA	0.01	0.01	-	
relative CIELAB lab*				
lab*lab	0.0	0.0	0.0	
lab*tch	0.0	0.0	-	
lab*nch	1.0	0.0	-	
relative Natural Colour (NC)				
lab*lrj	0.0	0.0	0.0	
lab*tce	0.0	0.0	-	
lab*ncE	1.0	0.0	-	

$n^* = 1,0$

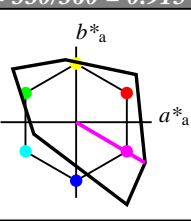
3 stufige Reihen für konstanten CIELAB Bunton 330/360 = 0.915 (rechts)

Ausgabe: Farbmétrisches Fernseh-Licht-System TLS00

für Bunton $h^* = lab^*h = 330/360 = 0.915$
 lab^*tch und lab^*nch

D50: Bunton M
LCH*Ma: 59 106 330
olv*Ma: 1.0 0.0 1.0

Dreiecks-Helligkeit t^*



%Umfang

$u^*_{rel} = 156$

%Regularität

$g^*_{H,rel} = 26$

$g^*_{C,rel} = 45$

relative Inform. Technology (IT)				
olvi3*	1.0	0.5	1.0	(1.0)
cmyn3*	0.0	0.5	0.0	(0.0)
olvi4*	1.0	0.5	1.0	1.0
cmyn4*	0.0	0.5	0.0	0.0
standard and adapted CIELAB				
LAB*LAB	77.08	45.58	-26.83	
LAB*LABa	77.08	45.58	-26.83	
LAB*TChA	75.0	52.9	329.5	
relative CIELAB lab*				
lab*lab	0.808	0.431	-0.253	
lab*tch	0.75	0.5	0.915	
lab*nch	0.0	0.5	0.915	
relative Natural Colour (NC)				
lab*lrj	0.808	0.371	-0.334	
lab*tce	0.75	0.5	0.883	
lab*ncE	0.0	0.5	b53r	

relative Inform. Technology (IT)				
olvi3*	1.0	0.0	1.0	(1.0)
cmyn3*	0.0	1.0	0.0	(0.0)
olvi4*	1.0	0.0	1.0	1.0
cmyn4*	0.0	1.0	0.0	0.0
standard and adapted CIELAB				
LAB*LAB	58.76	91.16	-53.68	
LAB*LABa	58.76	91.16	-53.68	
LAB*TChA	50.0	105.8	329.5	
relative CIELAB lab*				
lab*lab	0.616	0.861	-0.506	
lab*tch	0.5	1.0	0.915	
lab*nch	0.0	1.0	0.915	
relative Natural Colour (NC)				
lab*lrj	0.616	0.742	-0.669	
lab*tce	0.5	1.0	0.883	
lab*ncE	0.0	1.0	b53r	

$n^* = 1,0$

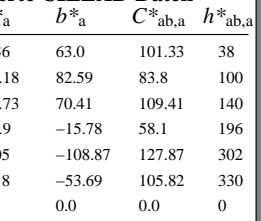
3 stufige Reihen für konstanten CIELAB Bunton 330/360 = 0.915 (rechts)

Ausgabe: Farbmétrisches Fernseh-Licht-System TLS00

für Bunton $h^* = lab^*h = 330/360 = 0.915$
 lab^*tch und lab^*nch

D50: Bunton M
LCH*Ma: 59 106 330
olv*Ma: 1.0 0.0 1.0

Dreiecks-Helligkeit t^*



%Umfang

$u^*_{rel} = 156$

%Regularität

$g^*_{H,rel} = 26$

$g^*_{C,rel} = 45$

relative Inform. Technology (IT)				
olvi3*	1.0	0.5	1.0	(1.0)
cmyn3*	0.0	0.5	0.0	(0.0)
olvi4*	1.0	0.5	1.0	1.0
cmyn4*	0.0	0.5	0.0	0.0
standard and adapted CIELAB				
LAB*LAB	29.39	45.58	-26.83	
LAB*LABa	29.39	45.58	-26.83	
LAB*TChA	25.01	52.9	329.5	
relative CIELAB lab*				
lab*lab	0.308	0.431	-0.253	
lab*tch	0.25	0.5	0.915	
lab*nch	0.5	0.5	0.915	
relative Natural Colour (NC)				
lab*lrj	0.308	0.371	-0.334	
lab*tce	0.25	0.5	0.883	
lab*ncE	0.5	0.5	b53r	

relative Inform. Technology (IT)				
olvi3*	0.0	0.0	0.0	(1.0)
cmyn3*	1.0	1.0	1.0	(0.0)
olvi4*	1.0	1.0	1.0	0.5
cmyn4*	0.0	0.0	0.0	1.0
standard and adapted CIELAB				
LAB*LAB	0.03	0.0	0.0	
LAB*LABa	0.03	0.0	0.0	
LAB*TChA	0.01	0.01	-	
relative CIELAB lab*				
lab*lab	0.0	0.0	0.0	
lab*tch	0.0	0.0	-	
lab*nch	1.0	0.0	-	
relative Natural Colour (NC)				
lab*lrj	0.0	0.0	0.0	
lab*tce	0.0	0.0	-	
lab*ncE	1.0	0.0	-	

$n^* = 1,0$

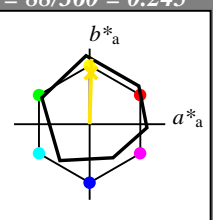
Eingabe: Farbmétrisches Offset-Reflektiv-System ORS18

für Bunton $h^* = lab^*h = 88/360 = 0.245$
 lab^*tch und lab^*nch

D50: Bunton J

LCH*Ma: 86 86 88

olv*Ma: 1.0 0.9 0.0

Dreiecks-Helligkeit t^* 

%Umfang

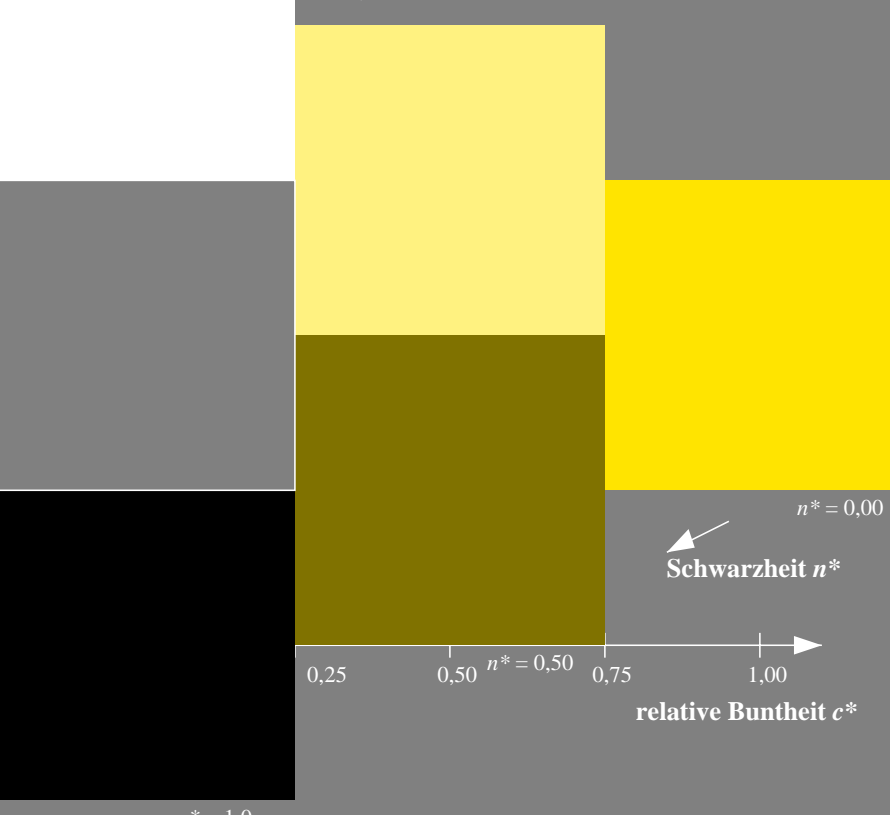
u*rel = 94

%Regularität

g*H,rel = 65

g*C,rel = 60

	$L^*=L^*_a$	a^*_a	b^*_a	$C^*_{ab,a}$	$h^*_{ab,a}$
O _{Ma}	47.94	65.05	50.54	82.38	38
Y _{Ma}	91.0	-4.72	90.58	90.7	93
L _{Ma}	50.9	-63.18	34.98	72.22	151
C _{Ma}	56.99	-39.34	-48.1	62.16	231
V _{Ma}	25.72	30.89	-44.4	54.09	305
M _{Ma}	49.99	75.76	-4.64	75.9	356
N _{Ma}	18.09	0.0	0.0	0.0	0
W _{Ma}	95.46	0.0	0.0	0.0	0
R _{CIE}	41.88	61.66	30.69	68.88	26
J _{CIE}	81.97	2.02	67.79	67.82	88
G _{CIE}	51.62	-41.32	9.74	42.46	167
B _{CIE}	29.2	-5.79	-49.61	49.96	263

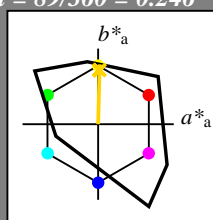
**Ausgabe: Farbmétrisches Fernseh-Licht-System TLS00**

für Bunton $h^* = lab^*h = 89/360 = 0.246$
 lab^*tch und lab^*nch

D50: Bunton J

LCH*Ma: 87 79 89

olv*Ma: 1.0 0.83 0.0

Dreiecks-Helligkeit t^* 

%Umfang

u*rel = 156

%Regularität

g*H,rel = 26

g*C,rel = 45

	$L^*=L^*_a$	a^*_a	b^*_a	$C^*_{ab,a}$	$h^*_{ab,a}$
O _{Ma}	54.19	79.36	63.0	101.33	38
Y _{Ma}	93.44	-14.18	82.59	83.8	100
L _{Ma}	82.82	-83.73	70.41	109.41	140
C _{Ma}	85.22	-55.9	-15.78	58.1	196
V _{Ma}	25.61	67.05	-108.87	127.87	302
M _{Ma}	58.76	91.18	-53.69	105.82	330
N _{Ma}	0.01	0.0	0.0	0.0	0
W _{Ma}	95.41	0.0	0.0	0.0	0
R _{CIE}	41.88	62.0	31.82	69.69	27
J _{CIE}	81.97	1.81	71.59	71.61	89
G _{CIE}	51.62	-41.11	11.52	42.7	164
B _{CIE}	29.2	-5.27	-49.33	49.62	264

